

## مطالعه اثر دمای بازپخت بر ویژگی‌های ساختاری و مغناطیسی نانوذرات فریت



مهین اشراقی

گروه فیزیک، دانشگاه پیام نور

(دریافت مقاله: ۱۳۹۴/۱۱/۱۴؛ دریافت نسخه نهایی: ۱۳۹۵/۹/۳)

### چکیده

در این پژوهش نانوذرات فریت نیکل-کادمیوم با فرمول  $\text{Ni}_{0.3}\text{Cd}_{0.7}\text{Fe}_2\text{O}_4$  به روش سل-ژل خود احتراقی ساخته شد. به منظور بررسی اثر اندازه ذرات بر ویژگی‌های فیزیکی، پودرهای ساخته شده در دماهای ۳۵۰، ۴۰۰، ۴۵۰ و ۵۰۰ درجه سانتی‌گراد به مدت ۳ ساعت بازپخت شده و ویژگی‌های ساختاری، مورفولوژیکی و مغناطیسی آنها با آنالیز پراش پرتوی ایکس، میکروسکوپ الکترونی روبشی، مغناطش سنج نمونه ارتعاشی و پذیرفتاری مغناطیسی متناوب مورد مطالعه قرار گرفتند. آنالیز پراش پرتوی ایکس بر روی نمونه‌ها نشان داد که نمونه‌های ساخته شده ساختار اسپینلی دارند و اندازه بلورک‌ها با استفاده از معادله شرر بین ۱۷-۳۵ نانومتر برآورد شد که با تصاویر میکروسکوپ الکترونی روبشی نیز هم‌خوانی داشت. نتایج اندازه‌گیری مغناطش نشان داد که با افزایش اندازه ذرات، مغناطش و میدان وادارندگی افزایش می‌یابد. با استفاده از اندازه‌گیری پذیرفتاری مغناطیسی متناوب از نمونه‌ها و آنالیز آنها به کمک سه مدل نیل-براون، وگل-فالچر و توان دینامیکی بحرانی نشان داده شد که نمونه‌های بازپخت شده در دماهای ۳۵۰ و ۴۰۰ درجه سانتی‌گراد در دمای اتاق رفتار ابرپارامغناطیس و در دماهای پایین رفتار شیشه ابراسپینی دارند.

واژه‌های کلیدی: نانوذرات، فریت، ابرپارامغناطیس، شیشه ابراسپینی

### ۱. مقدمه

می‌شود [۱-۴]. به ویژه این که در سال‌های اخیر استفاده از این نانوذرات در درمان‌های پزشکی با استفاده از رفتارهای ابرپارامغناطیسی آنها جلوه خاصی به این زمینه مطالعاتی داده است [۵ و ۶]. یکی از راه‌های ایجاد رفتار ابرپارامغناطیس جایگزینی برخی یونها در ساختار فریت‌های اسپینلی است. به عنوان مثال با جایگزینی عنصر روی (Zn) در فریت نیکل به دلیل کاهش ناهمسانگردی مغناطیسی، ترکیب در آرایش‌های بالا میدان وادارندگی نزدیک صفر پیدا کرده و رفتار ابرپارامغناطیس

امروزه با توجه به ویژگی‌های مفید و منحصر به فرد نانوذرات مغناطیسی، استفاده از آنها در حوزه‌های مختلفی مورد توجه قرار گرفته است. در این میان نانوذرات فریت‌های اسپینلی با فرمول عمومی  $M\text{Fe}_2\text{O}_4$  (که در آن M یک یا ترکیبی از چند یون دوظرفیتی مانند  $\text{Ni}^{2+}$ ،  $\text{Mn}^{2+}$  و  $\text{Fe}^{2+}$ .... است) از پرکاربردترین انواع نانومواد هستند که ویژگی‌های منحصر به فردشان موجب کارایی خاص آنها نسبت به سایر نانوساختارها

به همین منظور از ترکیب EDTA به عنوان عامل سازنده کمپلکس‌های یونی و تشکیل‌دهنده ژل استفاده شد. در واقع عوامل کی‌لیت ساز<sup>۱</sup> مانند اسیدسیتریک و EDTA نقش مهمی را در ساخت ترکیبات اکسیدی، بازی می‌کنند. ترکیب سیترات-EDTA منجر به تشکیل ترکیبی می‌شود که از تجمع یون‌های  $\text{Ni}^{2+}$ ،  $\text{Cd}^{2+}$  و  $\text{Fe}^{3+}$  در محلول جلوگیری کرده و با احاطه کاتیون‌های فلزی مانع از اکسید شدن آنها و همچنین تشکیل ناخالصی‌هایی نظیر هماتیت ( $\alpha\text{-Fe}_2\text{O}_3$ ) می‌شود. در این فرایند سیترات به عنوان عامل کوردینه‌کننده<sup>۲</sup> اولیه و مقدار مناسبی از EDTA به عنوان عامل کوردینه‌ساز ثانویه که در واقع کمپلکس‌ساز به مراتب قوی‌تری در مقایسه با اسید سیتریک است عمل می‌کند. بررسی تعادل یون‌های فلزی با EDTA نشان می‌دهد که تشکیل کمپلکس به مقدار PH محیط بستگی دارد. مطالعات اخیر در مورد استفاده از اسید سیتریک و EDTA نشان می‌دهد در صورتی که تنها از اسیدسیتریک به عنوان کمپلکس‌ساز استفاده شود، به دلیل آن که اسید سیتریک تنها سه سر COOH- دارد که می‌تواند به کاتیون‌های فلزی متصل شود، این امر می‌تواند منجر به توزیع ناهمگن یون‌های فلزی شود [۱۱]. اما، EDTA شامل چهار سر COOH- و دو گروه آمین است که می‌تواند به کاتیون‌های فلزی متصل شود. بنابراین ترکیب سیترات و EDTA به دلیل داشتن جایگاه‌های کافی برای پوشش کامل کاتیون فلزی، ترکیب کی‌لیت به مراتب پایدارتری را ایجاد می‌کند. تهیه محلول اولیه نیترات‌ها و محلول حاوی کمپلکس‌ساز به این شرح انجام شد: ابتدا تمامی نیترات‌های فلزی در مقدار مناسب آب و EDTA در ۴۰ cc آمونیاک، در دو بشر جداگانه، به مدت ۱٫۵ ساعت با استفاده از همزن مغناطیسی حل شدند. از آنجایی که EDTA در محیط بازی حل می‌شود، به همین علت برای حل آن از آمونیاک استفاده شد. سپس محلول نیترات‌ها با استفاده از دکانتور طی ۴۵ دقیقه قطره به بشر حاوی EDTA اضافه و برای جلوگیری از رسوب کردن محلول، کمی آمونیاک به محلول اضافه شد تا محلول

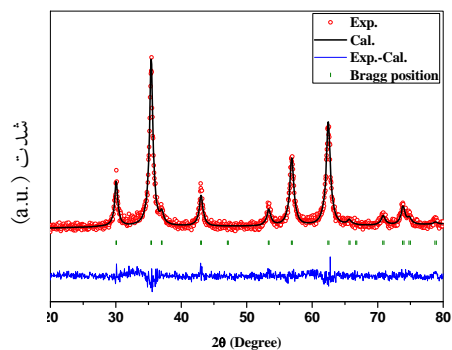
از خود نشان می‌دهد [۷]. ویژگی‌های مغناطیسی فریت‌ها به نوع کاتیون‌ها و توزیع‌شان در میان جایگاه‌های چهاروجهی و هشت‌وجهی بستگی دارد [۸]. چگونگی توزیع یون‌های فلزی در جایگاه‌های هشت‌وجهی و چهاروجهی به عواملی همچون شعاع یونی، ظرفیت یون‌ها، ساختار الکترونی و انرژی الکترواستاتیکی در ساختار اسپینلی بستگی دارد. فریت نیکل-کادمیوم یک فریت اسپینلی آمیخته است که در آن یون‌های  $\text{Fe}^{3+}$  و  $\text{Cd}^{2+}$  در جایگاه A و یون‌های  $\text{Ni}^{2+}$  و  $\text{Fe}^{3+}$  در جایگاه B، در یک شبکه اسپینلی مکعبی قرار می‌گیرند [۹]. برای ساخت فریت‌ها روش‌های گوناگونی از جمله سل-ژل، سنتز با ریزموج، واکنش حالت جامد، روش تجزیه گرمایی، مکان و شیمیایی و ... به کار گرفته شده است. در میان این روش‌ها، روش سل-ژل به دلیل برتری‌اش به سبب قابل کنترل بودن و تولید ذرات فوق ظریف با توزیع اندازه باریک با زمان تولید کم در دمای پایین، یک روش مفید برای تهیه نانوذرات است که در این پژوهش برای تهیه نمونه‌ها به کار گرفته شد [۱۰]. در این پژوهش اثر دمای بازپخت روی ویژگی‌های ساختاری، مغناطیسی و دینامیک اسپینلی نانوذرات  $\text{Ni}_{0.3}\text{Cd}_{0.7}\text{Fe}_2\text{O}_4$  مورد بررسی قرار خواهد گرفت.

## ۲. روش ساخت

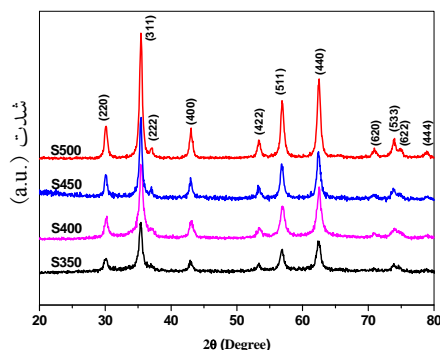
برای ساخت ترکیب  $\text{Ni}_{0.3}\text{Cd}_{0.7}\text{Fe}_2\text{O}_4$  از روش سل-ژل با بهره‌گیری از کمپلکس‌سازهای EDTA و اسید سیتریک استفاده شد. برای این منظور از مواد اولیه اسید سیتریک ( $\text{C}_6\text{H}_8\text{O}_7 \cdot \text{H}_2\text{O}$ )، نیترات آهن ( $\text{Fe}(\text{NO}_3)_3 \cdot 9\text{H}_2\text{O}$ )، نیترات نیکل ( $\text{Ni}(\text{NO}_3)_2 \cdot 6\text{H}_2\text{O}$ )، نیترات کادمیوم ( $\text{Cd}(\text{NO}_3)_2 \cdot 4\text{H}_2\text{O}$ )، EDTA ( $\text{C}_{10}\text{H}_{16}\text{N}_2\text{O}_8$ )، آمونیاک جهت کنترل pH و آب دو بار یونیزه شده به عنوان حلال، استفاده شده است. همه مواد ذکر شده با درجه خلوص بالای ۹۹٪ بوده و ساخت شرکت مرک هستند. توزین مواد با نسبت مولی نیترات‌های فلزی: اسید سیتریک: EDTA به صورت ۱: ۱: ۱ انجام شد. در این تحقیق، پس از حل نمودن مواد و تهیه محلول اولیه، محلول دیگری به عنوان محیط تشکیل ژل حاوی عامل کمپلکس‌دهنده، تهیه شد.

۱. Chelate

۲. coordinate



شکل ۲. (رنگی در نسخه الکترونیکی) رفتار نوعی تحلیل ریتولد برای نمونه S500.



شکل ۱. (رنگی در نسخه الکترونیکی) منحنی پراش پرتوی ایکس نمونه های بازپخت شده در دماهای مختلف.

مغناطیسی نمونه‌ها، اندازه‌گیری‌های مغناطش سنج ارتعاشی (VSM) و پذیرفتاری مغناطیسی متناوب انجام شد.

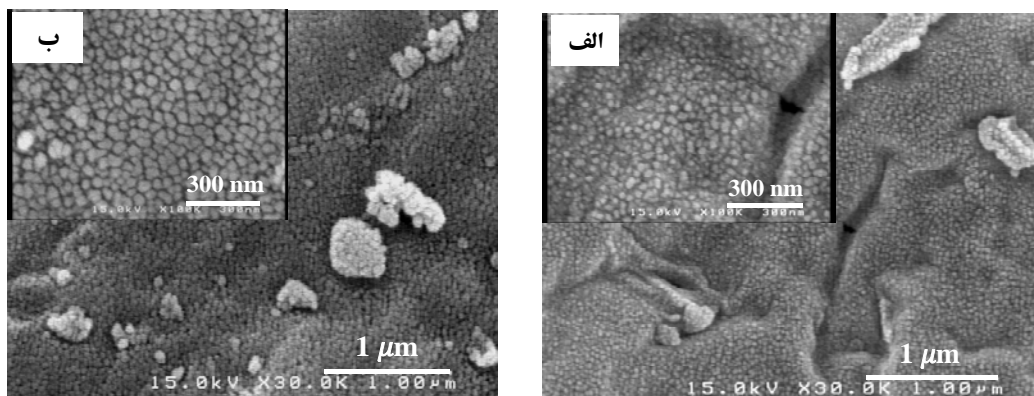
### ۳. نتایج و بحث

به منظور ارزیابی ویژگی‌های ساختاری نمونه‌ها، تحلیل پراش پرتوی ایکس (XRD) بر روی نمونه‌های بازپخت شده در دماهای مختلف  $50^{\circ}\text{C}$  تا  $350^{\circ}\text{C}$  انجام شد. الگوهای XRD نمونه‌ها در شکل ۱ نشان داده شده است. توافقی قله‌ها با کارت استاندارد به شماره ۰۸۶-۰۲۲-۰۰ نشان‌دهنده تک‌فاز بودن و خلوص بالای تمامی نمونه‌ها در حد دقت دستگاه است. با افزایش دما، قله‌ها متقارن‌تر، تیزتر شده و همچنین بر شدت آنها افزوده شده است. این امر نشان‌دهنده بهبود ساختار بلوری و افزایش اندازه بلورک‌ها در نمونه‌ها است. پهنای نسبتاً زیاد خطوط طیف‌های پرتوی ایکس به ویژه برای نمونه‌های بازپخت شده در دماهای پایین نشان‌دهنده نانو بودن نمونه‌ها است. این مطلب با محاسبه اندازه بلورک‌ها با استفاده از رابطه شرر و نیز مشاهده تصاویر FE-SEM تأیید شد. همان‌طور که مشاهده می‌شود با توجه به کاهش پهنای قله‌ها با افزایش دمای بازپخت، می‌توان این گونه نتیجه گرفت که اندازه بلورک‌ها افزایش یافته است. در واقع با افزایش دمای بازپخت جنبش اتمی افزایش یافته و کاهش انرژی سطحی منجر به افزایش اندازه بلورک‌ها می‌شود. نتایج حاصل از محاسبه اندازه بلورک‌ها با استفاده از رابطه شرر و محاسبه ثابت شبکه با استفاده از برازش داده‌ها با استفاده از تحلیل ریتولد توسط نرم‌افزار MAUD در جدول ۱ ارائه شده است. همچنین شکل ۲ رفتار نوعی تحلیل ریتولد

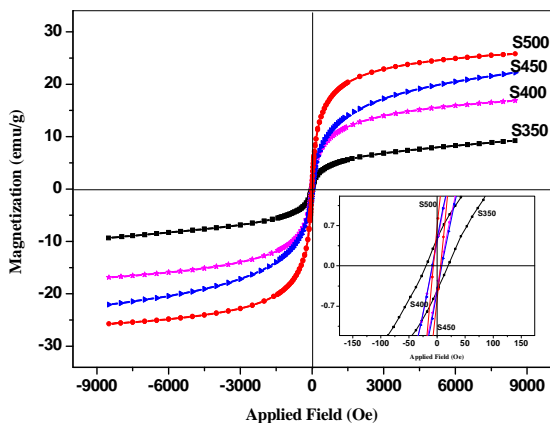
نیترات‌های فلزی به اضافه محلول EDTA شفاف باقی بماند. در آخر، محلول اسید سیتریک که حاصل حل شدن اسید سیتریک توسط هم‌زن مغناطیسی در مقدار آب مورد نیاز و به مدت ۱/۵ ساعت بود به محلول نیترات‌های فلزی و EDTA اضافه شد. در انتها با افزودن آمونیاک، pH محلول روی ۷ تنظیم شد. در این مرحله، دمای محلول نهایی در حین هم زدن، از دمای محیط تا دمای  $60^{\circ}\text{C}$  افزایش یافت و به مدت ۶ ساعت در این دما ثابت نگه داشته شد. سپس با افزایش دما تا  $90^{\circ}\text{C}$  و ثابت ماندن دمای محلول در همین دما، محلول غلیظی حاصل شد. با گذشت زمان و ادامه گرمادهی، ژلی به رنگ قهوه‌ای حاصل شد. با آماده شدن ژل، گرمادهی به تدریج اعمال شد به طوری که در فواصل زمانی ۱ ساعت دمای محلول  $10^{\circ}\text{C}$  افزایش یافت. در نهایت، ژل حاصل در دمای  $220^{\circ}\text{C}$  با رخ دادن واکنش خود احتراقی بین دستگاه نیترات-سیترات، کاملاً خشک و پودری به رنگ قهوه‌ای تیره به دست آمد. پودر حاصل به مدت ۱۵ دقیقه تحت آسیاب دستی قرار گرفت. پس از آن به منظور مطالعه اثر دمای بازپخت، محصول نهایی در دماهای مختلف  $350^{\circ}\text{C}$ ،  $400^{\circ}\text{C}$ ،  $450^{\circ}\text{C}$  و  $500^{\circ}\text{C}$ ، به مدت یک ساعت بازپخت شد. از این پس این نمونه‌ها به ترتیب S350، S400، S450 و S500 نامیده خواهند شد. برای شناسایی ساختار بلوری، اطلاع از فاز تشکیل شده و مشاهده میزان تراکم نانوذرات، آزمایشات پراش پرتوی ایکس (XRD) و میکروسکوپ الکترونی گسیل میدانی (FESEM) بر روی نمونه‌ها انجام شد. همچنین برای بررسی ویژگی‌های

جدول ۱. نام نمونه‌ها، اندازه بلورک ( $D$ )، پارامتر شبکه ( $a$ )،  $M_s$  و  $H_c$

نمونه	S۳۵۰	S۴۰۰	S۴۵۰	S۵۰۰
$D$ (nm)	۱۴	۲۲	۲۵	۳۱
$a$ (Å)	۸,۴۱۱۸	۸,۴۱۲۱	۸,۴۱۲۶	۸,۴۱۴۳
$M_s$	۱۰	۱۷	۲۳	۲۶
$H_c$	۲۰	۷	۸	۶



شکل ۳. تصاویر FE-SEM نمونه  $\text{Ni}_{0.2}\text{Cd}_{0.7}\text{Fe}_2\text{O}_4$  در دو پنجره ۳۰۰ nm و ۱  $\mu\text{m}$  (الف) نمونه پخت شده در دمای  $350^\circ\text{C}$  و (ب) نمونه پخت شده در دمای  $500^\circ\text{C}$



شکل ۴. (رنگی در نسخه الکترونیکی) منحنی‌های پسماند نمونه‌های پخت شده در دماهای مختلف.

به منظور مطالعه ویژگی‌های مغناطیسی نانوذرات ساخته شده، مغناطش نمونه‌ها در دمای اتاق با استفاده از  $\text{VSM}$  اندازه‌گیری شد. منحنی‌های مغناطش نمونه‌های پخت شده در دماهای مختلف، در شکل ۴ نمایش داده شده است. در جدول ۱ اندازه بیشینه مغناطش ( $M_s$ ) و میدان وادارندگی ( $H_c$ ) آورده شده

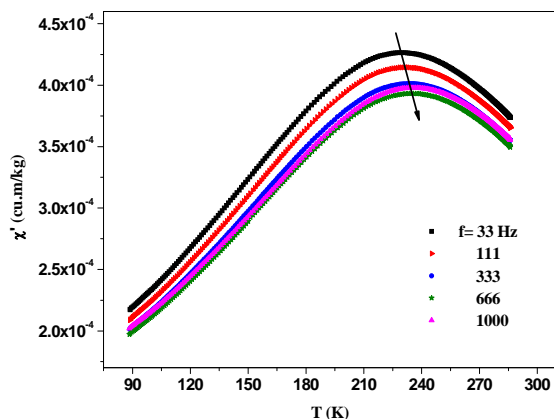
را برای نمونه S۵۰۰ نشان می‌دهد. با توجه به نتایج به دست آمده، ساختار اسپینلی با گروه فضایی  $Fd\bar{3}m$  برای تمامی نمونه‌ها تأیید و مشخص شد که مقادیر ثابت شبکه نمونه‌ها تقریباً ثابت بوده و توافق خوبی با مقادیر گزارش شده در مقالات دارند [۱۲]. در شکل ۳، تصاویر FE-SEM مربوط به نمونه‌های S۳۵۰ و S۵۰۰ در دو پنجره ۳۰۰ نانومتر و ۱ میکرومتر آورده شده است. با توجه به تصاویر، مشخص شد که ذرات نسبتاً منظم و به هم چسبیده در کنار هم قرار گرفته‌اند. همچنین، اندازه ذرات در نمونه S۳۵۰ در حدود ۲۰ نانومتر و در نمونه S۵۰۰ حدود ۴۰ نانومتر تخمین زده شد که با مقدار متوسط اندازه بلورک‌های این نمونه‌ها با استفاده از رابطه شرر (به ترتیب ۱۷ و ۳۵ نانومتر) توافق خوبی دارد. این هماهنگی نشان‌دهنده توزیع نسبتاً همگن اندازه ذرات است. بنابراین تصاویر FE-SEM بزرگ شدن اندازه ذرات با افزایش دمای بازپخت را تأیید می‌کند. همچنین اندازه ذرات در محدوده ۲۰ نانومتر برای نمونه‌های بازپخت شده در دماهای پایین‌تر می‌تواند نشان‌دهنده تک‌حوزه بودن این نانوذرات باشد.

به منظور کاهش میزان انرژی مغناطواستاتیک اطراف ماده هستند. فرایند مغناطیسی شدن نمونه مغناطیسی از طریق حرکت دیواره‌ها و همچنین از طریق چرخش حوزه‌های مغناطیسی رخ می‌دهد. بنابراین در مواد حجمی، سهم جابه‌جایی دیواره‌های حوزه‌ها نسبت به چرخش حوزه‌ها در فرایند مغناطیس‌سازی نیاز به انرژی کم‌تری دارد. با کاهش اندازه ذرات تا یک قطر بحرانی، تشکیل دیواره از لحاظ انرژی دیگر به صرفه نبوده و ذرات تک‌حوزه می‌شوند. در این محدوده، وادارندگی به یک مقدار بیشینه می‌رسد. بنابراین با کاهش بیشتر اندازه نانوذرات تک‌حوزه، وادارندگی کم شده و به صفر می‌رسد. نتایج نشان می‌دهد که برای نمونه‌های  $S_{35}^{\circ}$  و  $S_{40}^{\circ}$  میدان وادارندگی بسیار کوچک است و با افزایش اندازه ذرات، نمونه‌های  $S_{45}^{\circ}$  و  $S_{50}^{\circ}$  وادارندگی بزرگ‌تری نشان می‌دهند. وادارندگی و پسماند نزدیک صفر از مشخصات دستگاه‌های ابرپارامغناطیسی است [۱۴].

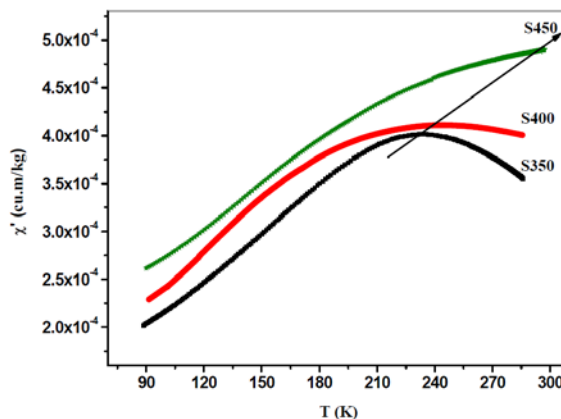
همان‌طور که اشاره شد، نمونه‌های  $S_{35}^{\circ}$  و  $S_{40}^{\circ}$  وادارندگی بسیار کوچکی دارند. بنابراین این نمونه‌ها در دمای اتاق رفتار ابرپارامغناطیسی از خود نشان می‌دهند. یکی از روش‌های بررسی ویژگی‌های مغناطیسی مواد و به ویژه بررسی رفتار ابرپارامغناطیسی و دینامیک اسپینی نانوذرات، استفاده از پذیرفتاری سنج مغناطیسی ac است. به منظور مطالعه رفتار دینامیک اسپینی نمونه‌ها، اندازه‌گیری پذیرفتاری مغناطیسی ac به عنوان تابعی از دما و بسامد بر روی نمونه‌های  $S_{35}^{\circ}$ ،  $S_{40}^{\circ}$  و  $S_{45}^{\circ}$  که میدان وادارندگی کمتری دارند انجام شد.

منحنی مؤلفه حقیقی پذیرفتاری مغناطیسی ac ( $\chi'$ ) نمونه‌های  $S_{35}^{\circ}$ ،  $S_{40}^{\circ}$  و  $S_{45}^{\circ}$  در بسامد ۳۳۳ هرتز در شکل ۵ رسم شده است. در منحنی‌های پذیرفتاری نمونه‌های  $S_{35}^{\circ}$  و  $S_{40}^{\circ}$  یک قله ( $T_p$ ) دیده می‌شود. همان‌طور که در شکل ۵ نشان داده شده است با افزایش دمای بازپخت نمونه، دمای قله به دمای بالاتری جابه‌جا شده است. دمای  $T_p$  مربوط به سد انرژی ( $E_a$ ) جداکننده دو ناحیه ابرپارامغناطیس و قفل شده/یخ زده است. این رفتار معمولاً برای نانوذرات تک‌حوزه مغناطیسی که رفتار ابرپارامغناطیس دارند دیده می‌شود. در واقع در دماهای بالاتر از

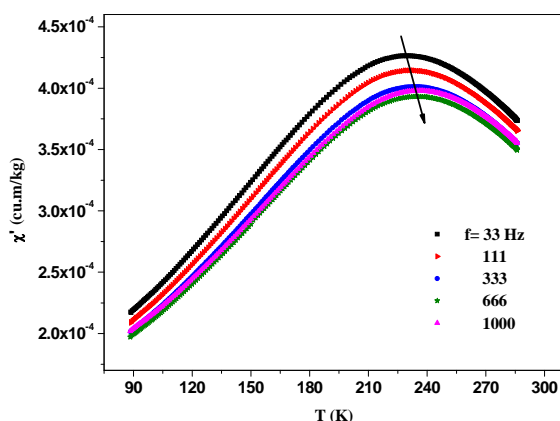
است. با توجه به نتایج به دست آمده ملاحظه می‌شود که با افزایش دمای بازپخت نمونه‌ها، مغناطش آنها افزایش یافته است. این اثر می‌تواند با استفاده از سازوکار مغناطیسی شدن یک ماده مغناطیسی به شرح زیر توضیح داده شود: اعمال یک میدان مغناطیسی بر یک ماده مغناطیسی منجر به حرکت دیواره‌های حوزه‌ها در طول بلور شده تا این که با اعمال بیشتر میدان، ساختار چند حوزه ماده به ساختار تک‌حوزه تبدیل می‌شود. عوامل ذاتی (نقص‌ها و ناکاملی‌های شبکه، کرنش‌های شبکه و ناخالصی‌های شیمیایی) نقش مهمی را در جابه‌جایی دیواره‌های حوزه‌ها دارد. میدان‌های خیلی قوی بر ناهمسانگردی غلبه می‌کنند و مغناطش به یک مقدار ثابت به نام مغناطش اشباع ( $M_s$ ) می‌رسد [۱۳]. رفتار مغناطیسی فریت‌ها به شدت تابع اندازه ذرات آنها است. به این علت که در نانوذرات بزرگ‌تر، تبلور بالاتر و مقدار کم ناکاملی‌های میکروساختاری شبکه اجازه می‌دهد که دیواره‌های حوزه به راحتی در فرایند مغناطیسی شدن نمونه حرکت کند. همچنین، مطابق با مورفولوژی هسته-پوسته نانوذرات، حضور یک هسته با نظم فری مغناطیسی و یک لایه سطحی شبه‌اسپین-شیشه‌ای با مغناطش صفر، نسبت بالاتر هسته به پوسته در نانوذرات بزرگ‌تر منجر به حذف اثرات سطحی می‌شود. در نتیجه مغناطش اشباع با افزایش دمای بازپخت و به تبع آن، اندازه ذرات افزایش می‌یابد. علت دیگری را که می‌توان برای افزایش مغناطش با افزایش دمای بازپخت ذکر کرد توزیع یون‌های  $Fe^{3+}$  در هر دو جایگاه چهار و هشت‌وجهی است. مغناطش فریت‌های اسپینلی به شدت به توزیع کاتیون‌های فلزی در هر دو جایگاه بستگی دارد. تغییر تعداد یون‌های  $Fe^{3+}$  در جایگاه هشت‌وجهی به طور مستقیم بر گشتاور مغناطیسی به ازای هر واحد فرمول ( $n_B$ ) که برابر با  $(M_B - M_A) / \mu_B$  است اثر می‌گذارد. در واقع،  $M_A$  و  $M_B$  برابر با جمع ممان‌های مغناطیسی موجود در جایگاه‌های چهار و هشت‌وجهی است [۷]. مطابق نتایج به دست آمده، برای ذرات چند حوزه‌ای یک رابطه معکوس بین وادارندگی ( $H_c$ ) و متوسط اندازه ذرات وجود دارد. نمونه‌های حجمی دارای دیواره‌های حوزه بیشتری



شکل ۶. (رنگی در نسخه الکترونیکی) نمودار پذیرفتاری حقیقی مربوط به نمونه  $S_{350}$ .



شکل ۵. (رنگی در نسخه الکترونیکی) منحنی پذیرفتاری در بسامد ۳۳۳ Hz نمونه‌های  $S_{450}$ ،  $S_{400}$  و  $S_{350}$ .



شکل ۷. (رنگی در نسخه الکترونیکی) نمودار پذیرفتاری حقیقی مربوط به نمونه  $S_{400}$ .

میدان  $10 \text{ Oe}$  نشان می‌دهند. با توجه به این شکل‌ها مشاهده می‌شود که نمودار پذیرفتاری حقیقی هر دو نمونه در تمامی بسامدهای اندازه‌گیری یک قله دمایی دارد. این قله وابسته به بسامد بوده که از ویژگی‌های دستگاه‌های ابرپارامغناطیس/شیشه اسپینی است. مقادیر مربوط به دمای قله بر حسب بسامد اعمالی برای مؤلفه حقیقی هر دو نمونه در جدول ۲ ارائه شده است. از جدول ۲ مشاهده می‌شود که قله منحنی‌ها با افزایش بسامد به سمت دماهای بالاتر جابه‌جا شده است. همچنین شکل‌ها نشان می‌دهند که علت افزایش دمای قفل‌شدگی و کاهش مقدار پذیرفتاری با افزایش بسامد این است که با افزایش بسامد مقدار پذیرفتاری کم می‌شود. با زیاد شدن بسامد اعمالی سرعت

دمای قله، مغناطش نانوذرات به دلیل انرژی گرمایی، توزیع تصادفی دارند که با کاهش دما، پاسخ آنها به میدان مغناطیسی اعمالی زیاد شده و پذیرفتاری مغناطیسی افزایش می‌یابد. با کاهش دما و به تبع آن کاهش انرژی گرمایی، مغناطش نانوذرات در حالت قفل شده قرار می‌گیرند و پاسخ آنها به میدان کم می‌شود. دیده می‌شود، با افزایش دمای بازپخت، دمای قله به سمت دماهای بالا جابه‌جا می‌شود. مطابق با رابطه  $E_a = KV$  این انرژی متناسب با حجم و ضریب ناهمسانگردی مغناطیبلوری نانوذرات است. بنابراین  $T_p$  با افزایش اندازه نانوذرات، افزایش یافته و قله واقع در منحنی پذیرفتاری حقیقی نمونه با اندازه نانوذره بزرگ‌تر نسبت به نمونه با اندازه کوچک‌تر در دماهای بالاتری واقع می‌شود. علت آن است که گشتاورهای مغناطیسی در دماهای بالاتر به علت افزایش سد انرژی قادر به تغییر جهت هستند. با توجه به این که در نمونه  $S_{450}$  اندازه نانوذرات بزرگ‌تر هستند قله مربوط به  $T_p$  به سمت دماهای بالاتر رفته و در محدوده اندازه‌گیری دستگاه ما، قابل مشاهده نیست. به همین دلیل این اندازه‌گیری برای نمونه  $S_{350}$  انجام نشد. در ادامه به منظور بررسی وابستگی دمای قفل‌شدگی به بسامد و بررسی دینامیک اسپینی نانوذرات، پذیرفتاری مغناطیسی نمونه‌های  $S_{400}$  و  $S_{350}$  در بسامدهای مختلف اندازه‌گیری شد. شکل‌های ۶ و ۷ نتایج اندازه‌گیری نمونه‌های  $S_{400}$  و  $S_{350}$  را برای بسامدهای مختلف ۳۳، ۱۱۱، ۳۳۳، ۶۶۶ و ۱۰۰۰ هرتز در

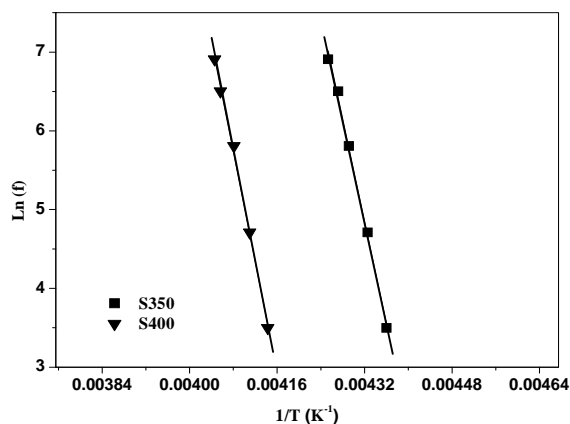
جدول ۲. مقادیر دمای قله در دو نمونه S350 و S400 در بسامدهای مختلف در مؤلفه حقیقی پذیرفتاری مغناطیسی.

نمونه	بسامد (Hz)				
	۳۳	۱۱۱	۳۳۳	۶۶۶	۱۰۰۰
S350	۲۲۶٫۳۶	۲۳۱٫۱۸	۲۳۳٫۰۲	۲۳۴٫۰۹	۲۳۵٫۱۱
S400	۲۴۱٫۳۹	۲۴۳٫۳۲	۲۴۵٫۰۳	۲۴۶٫۵۲	۲۴۷٫۱۸

بولتزمن و  $T$  دما می باشد.  $\tau$  نشان دهنده زمان متوسطی است که در یکی از حالت‌های مغناطش سپری می‌شود و رابطه آن با بسامد میدان اعمالی به صورت  $\tau = 1/f$  است. در این رابطه  $\tau_0$  ثابت بوده و مقدار آن برای نانو ذرات ابرپارامغناطیسی در محدوده  $10^{-13}$  -  $10^{-9}$  می‌باشد. مطابق با رابطه (۱)، اگر از دو طرف رابطه،  $\ln f$  بر حسب  $(1/T_B)$ ، خطی به دست می‌آید که با برازش خطی آن می‌توان مقادیر  $\tau_0$  و  $E_a/k_B$  را به دست آورد. نتیجه برازش هر دو نمونه با این مدل در شکل ۸ آورده شده است. همچنین مقادیر به دست آمده برای  $\tau_0$  و  $E_a/k_B$  در جدول ۲ ذکر شده است. مشاهده می‌شود که مقادیر برآورد شده برای  $\tau_0$  بسیار کوچک و غیر فیزیکی می‌باشد. بنابراین می‌توان نتیجه گرفت که این نانو ذرات از مدل غیربرهم‌کنشی نیل - براون تبعیت نمی‌کنند. انتظار می‌رود با توجه به کلوخه‌ای بودن نانو ذرات، برهم‌کنش بین آنها وجود داشته باشد. برای نانو ذرات با برهم‌کنش مغناطیسی متوسط از یک مدل دیگر به نام وگل - فالچر استفاده می‌شود.

$$\tau = \tau_0 \exp \frac{E_a}{k_B (T_B - T_0)} \quad (2)$$

که در آن،  $T_0$  یک دمای مؤثر است که نشان دهنده میزان برهم‌کنش بین نانو ذرات می‌باشد. در این مدل نیز مقدار  $\tau_0$  در محدوده  $10^{-13}$  -  $10^{-9}$  ثانیه است. در قانون وگل - فالچر نیز با رسم  $\ln f$  بر حسب  $[\ln(1/(T_B - T_0))]$  خطی حاصل خواهد شد که با برازش خطی آن از روی شیب خط مقدار سد انرژی و از روی عرض از مبدأ آن، مقدار  $\tau_0$  قابل دستیابی است. نتیجه برازش هر دو نمونه با قانون وگل - فالچر در شکل ۹ آورده شده است. همچنین مقادیر به دست آمده برای  $\tau_0$  (جدول ۲) با مقادیر پیش بینی شده در این مدل همخوانی خوبی دارد.

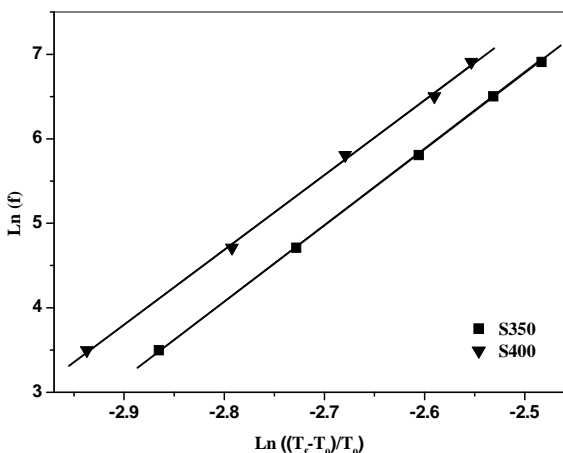


شکل ۸. بهترین برازش  $\ln f$  بر حسب  $(1/T_B)$  طبق مدل نیل - براون برای نمونه‌های S350 و S400

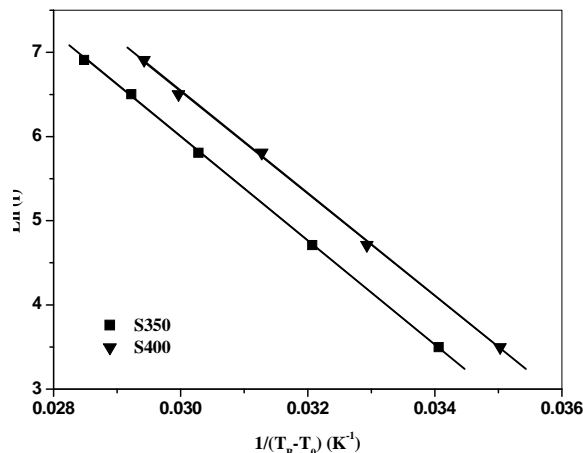
تغییر جهت میدان ac اعمالی افزایش یافته و به این دلیل گشتاورهای مغناطیسی نانو ذرات به سختی می‌توانند این میدان را تعقیب کرده و با آن هم جهت شوند. از طرف دیگر، برای این که این گشتاورها قادر به تغییر جهت سریع‌تر خود باشند احتیاج به انرژی گرمایی بیشتری دارند که این امر، مترادف با دمای بالاتری برای دمای قفل‌شدگی/ببخزدگی است. با این که در اغلب اوقات در اندازه‌گیری‌های تجربی تفاوت قائل شدن بین رفتارهای ابرپارامغناطیسی و شیشه اسپینی کار دشواری است اما چندین نظریه برای تفسیر و شبیه‌سازی این رفتارهای مغناطیسی وجود دارد. مدل نیل - براون ساده‌ترین مدل برای توصیف زمان واهلش افت و خیزهای مغناطیسی یک ذره با ناهمسانگردی تک‌محوری و مغناطش یکنواخت است و در مجموعه‌ای از ذرات ابرپارامغناطیسی بدون برهم‌کنش، وابستگی بسامد دمای گذار از مدل نیل - براون مطابق رابطه (۱) تبعیت می‌کند.

$$\tau = \tau_0 \exp \frac{E_a}{k_B T_B} \quad (1)$$

در این رابطه  $E_a = KV$  سد انرژی ناهمسانگردی،  $k_B$  ثابت



شکل ۱۰. بهترین برازش  $\ln f$  برحسب  $\ln [(T_f/T_0) - T_0]$  طبق مدل توان دینامیکی بحرانی برای نمونه‌های S۳۵۰ و S۴۰۰.



شکل ۹. بهترین برازش  $\ln f$  بر حسب  $1/T_f - T_0$  طبق مدل وگل-فالچر برای نمونه‌های S۳۵۰ و S۴۰۰.

نتیجه برازش هر دو نمونه با این مدل در شکل ۱۰ آورده شده است. همان طور که در جدول ۲ مشاهده می‌شود، مقادیر  $\tau$ ،  $E_a/k_B$  و  $zV$  برای هر دو نمونه، با هر دو مدل وگل-فالچر و توان دینامیکی بحرانی توافق دارد. برای تعیین دقیق‌تر میزان برهم‌کنش‌ها عامل دیگری به نام عامل  $c$  که به صورت زیر تعریف می‌شود، مورد بررسی قرار می‌گیرد [۱۵]:

$$c = \frac{\Delta T_B}{T_B \Delta(\log f)}, \quad (۴)$$

در این رابطه  $T_B$  میانگین دمای قفل‌شدگی در بسامدهای مختلف است و  $\Delta(\log f)$  نشان‌دهنده اختلاف لگاریتم بیشترین و کمترین بسامد اعمالی به دستگاه است.

اگر  $c \geq 0.13$  باشد، نانوذرات در حالت ابرپارامغناطیسی غیربرهم‌کنشی هستند و از مدل نیل-براون تبعیت می‌کنند [۱۶].

اگر  $c$  در بازه  $0.05 \leq c \leq 0.13$  باشد، نانوذرات برهم‌کنش ضعیفی دارند و از مدل وگل-فالچر پیروی می‌کنند [۱۷]. اگر  $c$  در بازه  $0 \leq c \leq 0.05$  باشد برهم‌کنش‌های بین ذرات بسیار زیاد بوده و نانوذرات در حالت شیشه ابراسپینی هستند که از مدل توان دینامیکی پیروی می‌کنند [۱۸].

با مقایسه مقدار عامل  $c$  به دست آمده برای هر دو نمونه که در جدول ۳ آورده شده است می‌توان نتیجه گرفت که برهم‌کنش‌های قوی بین نانوذرات فریت  $\text{Ni}_{0.7}\text{Cd}_{0.7}\text{Fe}_2\text{O}_4$  با

بنابراین به نظر می‌رسد که نانوذرات رفتار ابرپارامغناطیسی برهم‌کنشی دارند. در حالتی که برهم‌کنش قوی باشد، نانوذرات رفتار شیشه ابراسپینی از خود نشان می‌دهند و با یک مدل دیگر به نام مدل توان دینامیکی بحرانی رفتار نمونه‌ها را بررسی می‌کنند. دمای قله در پذیرفتاری مغناطیسی متناوب در حالت‌های ابرپارامغناطیسی دمای قفل‌شدگی ( $T_B$ ) نام دارد، اما در حالت شیشه ابراسپینی دمای قله دمای یخ‌زدگی ( $T_f$ ) نامیده می‌شود که در هر دو مورد به بسامد میدان اعمالی وابسته است. در نهایت تمامی نمونه‌ها به منظور بررسی رفتار شیشه ابراسپینی با استفاده از رابطه مربوط به مدل توان دینامیکی بحرانی مطابق رابطه (۳) تحت برازش خطی قرار گرفتند

$$\tau = \tau_0 \left( \frac{T_f}{T_g} - 1 \right)^{-zV}. \quad (۳)$$

در این رابطه  $\tau_0$  زمان واهلش گشتاور ذره منفرد است و  $zV$  نمای بحرانی دینامیکی است که مقدار آن برای حالت شیشه اسپینی در بازه ۴ تا ۱۲ می‌باشد. در رابطه (۳)،  $T_f$  دمای یخ‌زدگی در بسامدهای مختلف و  $T_g$  نیز دمای یخ‌زدگی در بسامد صفر یا همان حالت dc می‌باشد. همچنین مقدار  $\tau_0$  در حالت شیشه اسپینی نیز در محدوده  $10^{-13}$  تا  $10^{-9}$  ثانیه قرار دارد.

در این مدل نیز با ترسیم  $\ln f$  بر حسب  $\ln \left( \frac{T_f}{T_g} - 1 \right)$  و برازش خطی آنها می‌توانیم مقادیر  $\tau_0$ ،  $E_a/k_B$  و  $zV$  را به دست آوریم.



جدول ۳. نتایج به دست آمده از برازش هر دو نمونه  $S^{۳۵۰}$  و  $S^{۴۰۰}$  با استفاده از هر سه مدل نیل - براون، وگل - فالچر و توان دینامیکی بحرانی و نیز نتیجه به دست آمده از محاسبه پارامتر  $c$ .

مدل	کمیت	$S^{۳۵۰}$	$S^{۴۰۰}$
	$c$	۰٫۰۲۵	۰٫۰۱۶
نیل-براون	$\tau$ . (s)	$۱٫۸ \times ۱۰^{-۶۴}$	$۰٫۴۲ \times ۱۰^{-۵۶}$
	$E_d/k_B$ (K)	۳۲۴۶۲	۳۵۹۲۶
	$\tau$ . (s)	$۲٫۰۳ \times ۱۰^{-۱۱}$	$۱٫۶۴ \times ۱۰^{-۱۳}$
وگل-فالچر	$E_d/k_B$ (K)	۶۲۰	۶۰۵
	$T$ . (K)	۲۰۰	۲۱۲
	$\tau$ . (s)	$۱٫۶۴ \times ۱۰^{-۱۲}$	$۱٫۸۳ \times ۱۰^{-۱۲}$
توان دینامیکی بحرانی	$zV$	۹٫۰۶۱	۸٫۸۶۱
	$T$ . (K)	۲۱۷	۲۲۹

میزان برهم‌کنش و به تبع آن رفتار دینامیکی آنها را در پاسخ به میدان متناوب کنترل کرد.

#### ۴. نتیجه‌گیری

در این مطالعه نانو ذرات فریت  $Ni_{۰٫۳}Cd_{۰٫۷}Fe_۲O_۴$  به روش سل-ژل و با استفاده از کمپلکس‌ساز EDTA ساخته شدند. نتایج XRD تک‌فاز بودن نمونه‌های سنتز شده با اندازه بلورک‌های در محدوده ۱۷-۳۵ نانومتر را تأیید کرد. بررسی منحنی‌های مغناطش نمونه‌های پخت شده در دماهای مختلف نشان می‌دهد که با افزایش دمای بازپخت مغناطش و میدان وادارندگی نمونه‌ها افزایش می‌یابد. اندازه‌گیری پذیرفتاری مغناطیسی وابسته به بسامد نمونه‌های بازپخت شده در دماهای پایین نشان می‌دهد که به دلیل برهم‌کنش قوی بین نانو ذرات، نمونه‌ها خاصیت شیشه‌ای ابراسپینی از خود نشان می‌دهند.

اندازه‌های متفاوت وجود دارد. همان‌طور که مشاهده می‌شود مقدار  $c$  با افزایش اندازه نانو ذرات (افزایش دمای بازپخت نمونه‌ها) کاهش می‌یابد. در واقع با افزایش اندازه نانو ذرات، گشتاور مغناطیسی افزایش یافته است و در نتیجه برهم‌کنش دوقطبی دوقطبی افزایش و مقدار  $c$  کاهش می‌یابد. بنابراین با در نظر گرفتن مقادیر  $c$  به دست آمده، وجود رفتار شیشه‌ای ابراسپینی با برهم‌کنش زیاد بین نانو ذرات در هر دو نمونه تأیید شد. مقدار  $zV$  به دست آمده در هر دو نمونه به ترتیب برابر با ۹٫۰۶ و ۸٫۸۶ است. توان  $zV$  معیاری از قدرت برهم‌کنش بین نانو ذرات است و با افزایش قدرت برهم‌کنش مقدار آن کاهش می‌یابد. بنابراین کاهش مقادیر  $zV$  حاصل از برازش نمونه‌ها با مدل توان دینامیکی بحرانی نیز نشان‌دهنده افزایش قدرت برهم‌کنش نانو ذرات با افزایش دمای بازپخت است. وجود چنین برهم‌کنش‌هایی محدوده کاربردی نانو ذرات مغناطیسی را تحت تأثیر قرار می‌دهد. بنابراین با تغییر پارامترهای ساخت از قبیل دمای بازپخت، ایجاد پوشش مناسب مانند پلیمر و غیره می‌توان

#### مراجع

2. D S Mathew and R S Juang, *Chemical Engineering Journal* **129** (2007) 51.

1. R Raut, D Barkule, and K Shengule, *Journal of Magnetism and Magnetic Materials* **358** (2014) 87.

- (2006) 752.
11. N A Abdullah, S Hasan, and N Osman, *Journal of Chemistry* **2013** (2013) 1.
  12. M Mouallem-Bahout, S Bertrand, and O Peña, *Journal of Solid State Chemistry* **178** (2005) 1080.
  13. J R Hook and H E Hall, “*Solid State Physics*”, John Wiley & Sons (1995).
  14. M Rahimi, P Kameli, M Ranjbar, H Hajhashemi, and H Salamati, *Journal of Materials Science* **48** (2012) 2969.
  15. J Dormann, D Fiorani, and E Tronc, *Journal of Magnetism and Magnetic Materials* **202** (1999) 251.
  16. E Madsen, M F Hansen, and S Mørup, *Journal of Physics: Condensed Matter* **20** (2008) 345209.
  17. A Birajdar, S E Shirsath, R H Kadam, S M Patange, D R Mane, and A R Shitre, *Ceramics International* **38** (2012) 2963.
  18. P Aslibeiki, H Kameli, M Salamati, Eshraghi, and T Tahmasebi, *Journal of Magnetism and Magnetic Materials* **322** (2010) 2929.
  3. S Soibam Phanjobam, and C. Prakash, *Journal of Magnetism and Magnetic Materials* **321** (2009) 2779.
  4. E De Fazio, P Bercoff, and S Jacobo, *Journal of Magnetism and Magnetic Materials* **323** (2011) 2813.
  5. M E F Brollo, J M Orozco-Henao, R López-Ruiz, D Muraca, C S B Dias, K R Pirota, and M Knobel, *Journal of Magnetism and Magnetic Materials* **397** (2016) 20.
  6. V Peeples, Goornavar, C Peeples, D Spence, V Parker, C Bell, D Biswal, G T Ramesh, and A K Pradhan, *J. Nanopart. Res.* **16** (2014) 2290.
  7. M Rahimi, P Kameli, M Ranjbar, and H Salamati, *J. Nanopart. Res.* **15** (2013) 1865.
  8. K Maaz, W Khalid, A Mumtaz, S Hasanain, J Liu, and J Duan, *Physica E: Low-dimensional Systems and Nanostructures* **41** (2009) 593.
  9. M Rahimi, M Eshraghi, and P kameli, *Ceramics Internationa* **140** (2014)15569.
  10. B Parvatheeswara, O Caltun, I Dumitru, and L Spinu, *Journal of Magnetism and Magnetic Materials* **304**